

ساخت کمپلکس نانوذره ویروسی / هرسپتین با استفاده از لینکرهای شیمیایی و ویروس ایکس سیباز مینی

ندا اسفندیاری*: دانشجو دکتری، گروه گیاه‌پزشکی، دانشگاه تهران

مینا کوهی حبیبی: دانشیار، گروه گیاه‌پزشکی، دانشگاه تهران

مسعود سلیمانی: دانشیار، گروه همانولوژی دانشکده پزشکی، دانشگاه تربیت مدرس

محسن کریمی ارزانی: استادیار، گروه پزشکی مولکولی انسیتو پاستور ایران

غلامحسین مصاحبی: استاد، گروه گیاه‌پزشکی پردیس کشاورزی و منابع طبیعی دانشگاه تهران

چکیده

مقدمه: در سال‌های اخیر نگرشی نو در جهتی غیر از بیماری زایی در ویروس‌ها سبب شد، که از این ذرات در علم نانوتکنولوژی استفاده شود. به منظور کاهش عوارض جانبی دارو و کاهش هزینه‌های درمانی، استفاده از نانوذرات در هدفمند کردن مسیر اثر دارو وارد علوم پزشکی شده و جایگاه ویژه‌ای را در درمان بیماری‌ها از جمله سرطان به خود اختصاص داد. از جمله مزایای نانوذرات ویروسی می‌توان به سازگاری طبیعی، استراتژی تکثیر خودکفا و بهینه، قابلیت تجزیه و بالاخص قابلیت خالص‌سازی ارزان آن‌ها اشاره کرد. یکی از موارد استفاده از این نانوذرات ساخت کمپلکس نانوذره ویروسی/هرسپتین است.

هرسپتین دارویی است که در درمان گروهی از بیماران مبتلا به سرطان پستان (+HER2) استفاده می‌شود.

روش بررسی: در این تحقیق هرسپتین با کمک لینکر شیمیایی EDC/Sulfo-NHS به نانوذرات رشتهدی ویروس ایکس سیب زمینی متصل گردیده و نانوذره ویروسی دارویی ساخته شده با استفاده از تکنیک‌های Western blot، SDS-PAGE، Zetasizer و میکروسکوپ الکترونی بررسی شد.

یافته‌ها: در آزمون Western blot و SDS-PAGE تشکیل باند ۸۲ کیلو Dalton دال بر اتصال پروتئین بوششی ۲۷ کیلو Daltonی ویروس ایکس سیب زمینی با باند سنگین آنتی‌بادی مونوکلونال هرسپتین با وزن مولکولی ۵۵ کیلو Dalton بود. آزمون الیزای طراحی شده اتصالات نانوذره ویروسی به آنتی‌بادی هرسپتین را نشان داد. در بررسی بار الکتریکی ذرات بوسیله دستگاه Zetasizer، ذرات کثروگه بار الکتریکی ۷/۰۵-، ذرات ویروس ایکس سیب زمینی ۴/۲۱- و هرسپتین ۱/۴۸- را نشان داد.

نتیجه‌گیری: نتایج به دست آمده در این تحقیق نشان داد که نانوذره ویروس/ هرسپتین بعد از تهیه، ساختار رشتهدی خود را حفظ کرد. استفاده از این ذرات قادر به کاهش دوز مصرفی دارو و در نتیجه کاهش اثرات جانبی ناشی از دارو می‌شود.

واژه‌های کلیدی: نانوذرات، نانوذره ویروسی، ویروس ایکس سیب زمینی، هرسپتین، لینکرهای شیمیایی.

مقدمه

مولکول‌ها با دقت بالا در مقیاس کم با پروتئین کپسید این ذرات است. استفاده از ذرات ویروس‌های میله‌ای شکل به دلیل دارا بودن سطح محیطی بیشتر نسبت به پارتیکل‌های ایزومتریک و همچنین پتانسیل بالا برای جایگاه‌های اتصال از توجه ویژه برخوردار بوده و بیشتر مورد استفاده قرار گرفته‌اند. در این دسته از ویروس‌ها به علت مسطح بودن ذره ویروسی، پیوندها به روش موثرتری تشکیل می‌گردند و در نتیجه حساسیت و اختصاصیت اتصال افزایش می‌یابد (۱۰).

سرطان پستان یکی از شایع‌ترین سرطان‌ها بوده که تشخیص به موقع و یا زودهنگام آن درمان را امکان‌پذیر می‌نماید (۱۶). بر طبق آمار انسیتیتو ملی سرطان ایالت متحده آمریکا، شیوع این سرطان در زنان یک به ازای هر هشت نفر زن است. آنتی‌بادی مونوکلونال هرسپتین با نام تجاری تراستوزوماب در درمان نوع متاستاتیک سرطان پستان استفاده می‌شود. این دارو جهت درمان بیمارانی مورد استفاده قرار می‌گیرد، که در بررسی‌های آزمایشگاهی HER2/neu بوده و میزان پروتئین HER2 بالایی را دارا می‌باشد.

در این تحقیق نانوذره ویروس گیاهی به عنوان ناقل داروی هرسپتین با اهداف ذکر شده، جهت استفاده در فاز درمانی سرطان پستان در بیماران HER2+ ساخته شد. جهت ساخت این نانوذره از ویروس گیاهی رشتای انعطاف پذیر (Filamentous) ایکس سیبزمینی (Potato virus X) با ابعاد 12×515 نانومتر و وزن مولکولی ۲۷ کیلو Dalton (no.FH461343 EDC/Sulfo-Accession) و لینکر شیمیایی Alphaflexiviridae و Tymovirales و خانواده Potexvirus جنس است (۱۹-۱۷).

مواد و روش‌ها

تهیه ویروس خالص:

برگ گیاهان *N.rustica*, *Nicotiana glutinosa* با ویروس ایکس سیب زمینی مایه زنی شده و به مدت ۲۰-۱۵ روز در گلخانه نگهداری شد. ۵۰-۶۰ گرم برگ گیاهان آلوده شده درون هاون چینی با افزودن ازت مایع

نانوتکنولوژی یکی از علوم نوپایی است که جایگاه ویژه‌ای را در درمان به خود اختصاص داده است. ذرات نانویی، ذراتی با قطر $10-100$ نانومتر هستند که منشا شیمیایی و یا زیستی دارند. هدف‌گیری دقیق نقطه اثر دارو، آزاد شدن کنترل شده دارو، افزایش قابلیت احلال داروها، کاهش عوارض جانبی و سمیت دارویی، جذب بهتر، هدف قرار دادن اختصاصی بافت یا توده بدخیم، طولانی بودن مدت زمان تاثیر دارو، کاهش دفعات تجویز دارو، کاهش سمیت دارویی به دلیل نیاز کمتر به مصرف دارو و کاهش هزینه‌های درمانی از مهم‌ترین مزایای استفاده از نانوذرات در درمان است. از مهم‌ترین نانوذرات شیمیایی می‌توان به نقاط کواتنومی (Quantumdots)، وزیکول‌های پلی‌مری (PolymerVesicles)، لیپوزوم‌ها (Liposomes)، دندیمرها (Dendrimers) و پروتئین‌هایی با ساختار نانو اشاره کرد. عدم سازگاری بهینه‌زیستی و سمیت نانوذرات شیمیایی (۱-۱۰) سبب گردید که استفاده از نانوذرات زیستی مورد توجه قرار گیرد. نانوذرات ویروسی از گیاهان و یا حیوانات مشتق می‌شوند. نانوذرات ویروسی مشتق از گیاهان احتمال بیماری‌زاوی کمتری را برای انسان داشته و نیز عوارض جانبی آن نسبت به نانوذرات ویروسی مشتق از حیوانات، کمتر است. تحقیقات نشان داد که می‌توان از کپسید ویروس‌های میله‌ای یا ایزومتریک با واحدهای ساختاری چند بعدی به عنوان ذرات نانو زیستی در نانوتکنولوژی دارویی استفاده کرد (۱۲ و ۱۳). نانوذرات ویروسی میله‌ای و ایزومتریک قادر بیماری‌زاوی با ساختارهای هندسی منحصر به فرد، منظم و یکنواخت به عنوان ناقلين پروتئین و یا سایر مولکول‌ها توجه محققین را به خود جلب نمود. یکی از مزایای این ساختارها اتصالات موثرتر و محکم‌تر این نانو ذرات با داروها یا سایر مولکول‌ها می‌باشد. دست‌کاری راحت ژنتیکی این ویروس‌ها سبب تولید گونه‌های جهش یافته گردیده است. در نوع جهش یافته مهندسی شده این کپسیدها لیزین و سیستئین در سطح قابل دسترس کپسید پروتئینی واقع شده و اتصال به کمک لینکرهای شیمیایی دو عملکردی همسو و غیر همسو (homo or hetero-biofunctional) امکان‌پذیر است (۱۴ و ۱۵). یکی از مهم‌ترین مزایای استفاده از نانوذرات ویروسی به جای نانو ذرات شیمیایی امکان اتصال

مرکاپتواتانل و ستون Spin Column Biogel p-10 (BioRad) به منظور توقف واکنش لینکر و نانوذره ویروسی و حذف نانوذرات و لینکرهای آزاد در مرحله اول (مرحله انکوباسیون نانوذره ویروس و لینکر) استفاده شد. در شکل شماره ۱ مراحل اتصال لینکر به ویروس و اتصال هرسپتین به آن مجموعه نشان داده شده است.

جدول ۱: مقادیر به کار رفته نانوذره ویروسی، هرسپتین و لینکرها در بهینه سازی واکنش

Herceptin	Virus	EDC linker	Sulfo NHS linker
50 µg/µl	5 µg/µl	2 mM	5 mM
50 µg/µl	5 µg/µl	4 mM	10 mM
50 µg/µl	5 µg/µl	8 mM	20 mM

مراحل انجام کار:

- اضافه کردن لینکرهای EDC/Sulfo-NHS به نسبت ۱ به ۲/۵ با غلظت‌های متفاوت در زمان‌های انکوباسیون مختلف به ویروس به منظور بهینه سازی غلظت لینکرها و زمان مناسب در محیط بافری (MES M=0.1, NaCL M=0.5, pH=6)

- توقف مرحله اول واکنش با استفاده از ۲ مرکاپتواتانل و حذف لینکرها و نانوذرات آزاد با گذراندن از ستون‌های spin column Biogel P-10 (BioRad)

- اضافه کردن آنتی‌بادی مونوکلونال هرسپتین به میزان ده برابر محصول مرحله اول (نانوذره ویروس لینکر) با زمان‌های انکوباسیون مختلف جهت بهینه سازی واکنش در محیط بافری فسفات سدیم (0.1M, NaCl 0.1M, pH=7.5)

- حذف هرسپتین‌های آزاد در محیط با گذراندن از ستون‌های spin column Biogel P-10 (BioRad)

بررسی کارایی اتصال:

بررسی اتصال آنتی‌بادی مونوکلونال هرسپتین به ذرات ویروسی PVX با استفاده از روش‌های ELISA و Western blot، SDS-PAGE، Sandwich Zetasizer انجام گرفت.

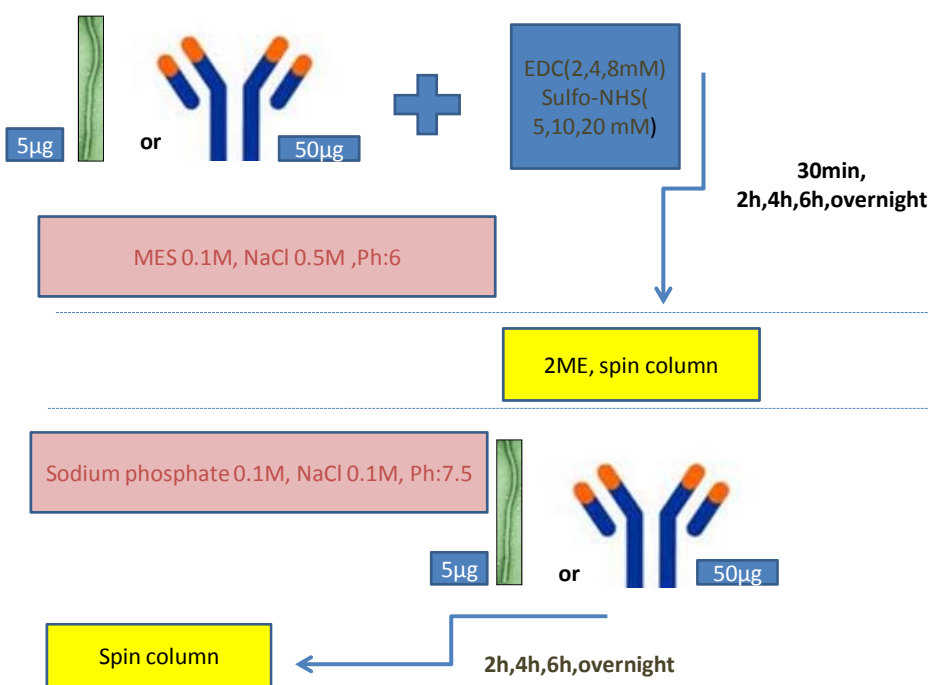
الف): نانو پارتیکل‌های ساخته شده به وسیله آزمون الیزای ساندویچی مورد تجزیه و تحلیل قرار گرفت. الیزا به گونه‌ای طراحی گردید که آنتی‌بادی اختصاصی

خرد شد. عصاره‌گیری با افزودن ۱۰۰-۱۲۰ میلی‌لیتر بافر فسفات (pH=۸، ۰/۱ مولار، ۲-۴°C) به مدت ۲۰ دقیقه در ۴°C سانتریفوژ گردید. به فاز رویی به دست آمده ترایتون اضافه شده و به مدت ۱ ساعت در ۴°C انکوبه گردید. رسوب حذف و بسته به حجم فاز روئی به دست آمده ۰/۲ مولار کلرید سدیم (NaCl) و ۰/۴٪ پلی‌اتیلن گلیکول (PEG ۶۰۰۰ تا ۸۰۰۰) اضافه شده، به مدت ۱ ساعت در ۴°C گردید. با سرعت g ۷۸۰۰ به مدت ۳۰ دقیقه سانتریفوژ شده و فاز روئی حذف شد. رسوب حاصل در ۸ میلی‌لیتر بافر فسفات (۰/۰۵ مولار با pH=۸) حاوی ترایتون ۱٪ حل شده و با بالشتک سوکروز (۳۰٪/W/V) در سرعت g ۷۲۵۰ به مدت ۱۵۰ دقیقه سانتریفوژ و فاز روئی حذف گردید. رسوب حاصل در ۰/۵ میلی‌لیتر بافر فسفات (۰/۰۵ مولار (pH=۷/۲) حل شده و جذب ویروس در طول ۲۸۰ و ۲۶۰ نانومتر اندازه‌گیری شد. بعد از حصول اطمینان از کیفیت ویروس خالص شده و عدم وجود پروتئین‌های ناخواسته با استفاده از تکنیک SDS-PAGE، ویروس خالص شده در دمای ۰-۲۰°C ذخیره شد (۲۰).

اتصال آنتی‌بادی هرسپتین به ویروس با کمک لینکرهای شیمیایی:

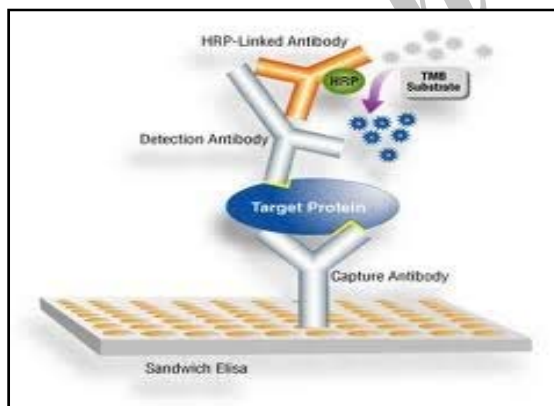
آنتی‌بادی هرسپتین قابل تزریق از شرکت Roche، لینکر شیمیایی EDC (۱-اتیل-۳-(۳-دی‌متیل‌آمینو پروپیل) کربوکسی آمید هیدروکلراید از شرکت Merck و لینکر (Sulfo-N-hydroxysuccinimide) Sulfo-NHS از شرکت Thermo خریداری شد.

به منظور بهینه‌سازی پرسوه اتصال دو پروتئین هرسپتین و ویروس به لینکرهای شیمیایی، غلظت‌های متفاوت لینکرهای شیمیایی Sulfo-NHS و EDC با نسبت ۱ به ۲/۵ مورد بررسی قرار گرفت. غلظت‌های به کار رفته در این تحقیق در جدول ۱ نشان داده شده است نتایج به دست آمده در بهینه‌سازی غلظت‌های به کار رفته با دستگاه زتسایزر و روش وسترن بلاط تأیید شد. قابل ذکر است که نسبت هرسپتین به نانوذره ویروسی ۱ به ۱۰ بوده و هم‌زمان بهینه‌سازی زمان انکوباسیون لینکر و پروتئین‌های نانوذره ویروسی و هرسپتین انجام گرفت. از ۲



شکل ۱: مراحل گنزوگه شدن نانوذره ویروسی و آنتی‌بادی مونوکلونال هرسپتین با استفاده از لینکرهاي آزمایشات با سه بار تکرار انجام گرفت. مراحل انجام الیزا ساندویچی در شکل شماره ۲ نشان داده شده است.

کلریدریک است توقف واکنش انجام شد. جذب نوری چاهک‌ها در طول موج ۴۵۰ نانومتر قرائت شد. تمامی آزمایشات با سه بار تکرار انجام گرفت. مراحل انجام الیزا ساندویچی در شکل شماره ۲ نشان داده شده است.



شکل ۲: تصویر شماتیک اساس کار ساندویچ الیزا

ب) Western blot و SDS-PAGE: ژل SDS- Ready Gel Tris-Hcl gel-161-1394(Biorad PAGE 8%-16% شرکت Biorad خریداری شد. نمونه‌های کنزوگه شده ویروس/ هرسپتین، هرسپتین (به عنوان کنترل)، ویروس prestained (به عنوان کنترل) و مارکر پروتئینی (

ویروس PVX (DSMZ,PV-0027) با غلظت ۱:۱۰۰۰ در بافر پوششی (pH=۹/۶) در کف پلیت الیزا ۹۶ خانه‌ای (Nunk Denmark) پوشش داده شده و آنتی‌بادی‌هایی که به ته چاهک نجسبیده بودند با شستشو حذف شد. فضاهای خالی بین آنتی‌بادی‌های چسبیده به ته چاهک با استفاده از ۰.۲٪ PVP و ۰.۱٪ BSA در بافر بلوکه گردید. نانوذرات ویروسی حاوی مولکول‌های هرسپتین که در مرحله قبل ساخته شده بود به چاهک‌ها اضافه و به مدت ۹۰ دقیقه در دمای محيط انکوبه شد. نانوذرات ویروسی متصل به هرسپتین آزادی که به آنتی‌بادی پوشش داده شده در کف خانه‌ها متصل نشده بودند با شستشو حذف شد.

آنتی‌بادی پلی کلونال ثانویه انسانی متصل به HRP secondary antibody to Goat polyclonal) ساخت شرکت abcam با غلظت ۱:۲۰۰۰ به چاهک‌ها اضافه شده و مدت یک ساعت انکوبه شد. آنتی‌بادی پلی کلونال ثانویه انسانی آزاد با شستشو حذف شد.

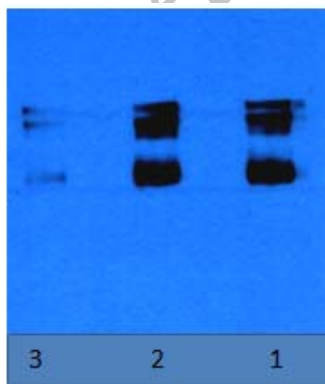
سوبرستراتی Benzidine، Tetramethyl TMB (Sigma) اضافه گردید و پس از گذشت مدت زمانی واکنش با اضافه کردن بافر متوقف کننده که حاوی اسید

محلول اورانیل استات ۱٪ استفاده شد. ۴ میکرولیتر از محلول اورانیل استات ۱٪ به هم حجم آن از سوسپانسیون نمونه حاوی نانوذرات ویروسی/هرسپتین اضافه گردیده و بر روی گرید میکروسکوپ الکترونی انتقال داده شد. بعد از خشک شدن نمونه، گرید در زیر میکروسکوپ الکترونی ۸۰ VJEM 1010 TEM (DSMZ,Germany) مورد بررسی قرار گرفته و عکسبرداری شد.

Malvern, NanoS zetasizer از دستگاه زتابایزر ZEN 3600 به منظور بررسی بار الکتریکی و اندازه ذرات در رنج ۶۰-۰ نانومتر تا ۶ میکرون استفاده می‌شود. از این دستگاه در سنجش بار الکتریکی نانوذرات ویروسی/هرسپتین، هرسپتین و نانوذرات ویروسی استفاده شد. قابل ذکر است که اندازه‌گیری بار الکتریکی نانوذرات/هرسپتین EDC/ Sulfo- NHS در بهینه‌سازی غلظت لینکرهای با نسبت ۱ به ۲/۵ نیز مورد استفاده قرار گرفت.

یافته‌ها

نانوذره ویروسی تخلیص شده از برگ‌های آلوده با استفاده از SDS-PAGE مورد بررسی قرار گرفت که باندی معادل ۲۷ کیلو دالتون را نشان داد. این وزن معادل وزن مولکولی پوشش پروتئینی این ویروس است. در بررسی غلظت مناسب لینکر و مدت زمان مناسب انکوباسیون لینکر و نانوذره ویروسی، وسترن بلات و بررسی بار الکتریکی با دستگاه زتابایزر انجام شد. نتایج وسترن بلات EDC/Sulfo-NHS نشان داد که نسبت غلظت مناسب معادل ۴/۱۰ است که در شکل‌های ۳ تا ۵ نشان داده شده است.



شکل ۳: تصویر به دست آمده از وسترن بلات با آنتی‌بادی انسانی به منظور تعیین غلظت بهینه EDC/Sulfo-NHS. ردیف ۱ EDC/Sulfo-NHS معادل ۲ به ۵، ردیف ۲ معادل ۴ به ۱۰ و ردیف ۳ معادل ۸ به ۲۰ است.

(protein ladder, Thermo) با ولتاژ ۱۰۰ به مدت ۴۵ دقیقه الکتروفورز شد. الکتروفورز نمونه‌ها هم‌زمان بر روی دو ژل با شرایط کاملاً یکسان صورت گرفت. عمل انتقال باندهای پروتئینی الکتروفورز شده از داخل ژل‌های SDS-PAGE به غشاها نیتروسلولزی با ولتاژ ۳۵۰ میلی‌آمپر به مدت ۹۰ دقیقه در بافر مخصوص انتقال انجام گرفت. از رنگ Panceau S غشاها نیتروسلولزی و قابل رویت شدن باندهای پروتئینی استفاده شد. بعد از حصول اطمینان از وجود باند پروتئینی مورد نظر، رنگ بری به وسیله بافر انتقال صورت گرفته و غشاها با استفاده از شیر خشک بدون چربی و بافر PBS در دمای محیط بلوکه شد. یکی از غشاها نیتروسلولزی حاوی باندهای نانوذره ویروسی/هرسپتین، نانوذره ویروسی و هرسپتین با آنتی‌بادی اختصاصی ویروس PVX (DSMZ,PV-0027) (غلظت ۱:۵۰۰) در طول یک شب مجاور گردید. این آنتی‌بادی قدرت اتصال به نانوذرات ویروسی با وزن مولکولی ۲۷ کیلو دالتون و نانوذرات ویروسی/هرسپتین با وزن مولکولی ۸۳ کیلو دالتون را دارد است. به منظور قابل رویت باندهای Goat HRP (polyclonal secondary antibody to rabbit IgG-HRP) ساخت abcam با غلظت ۱:۲۰۰۰ استفاده شد. باندهای اختصاصی نانوذره ویروسی (۲۷ کیلو دالتون) و نانوذره ویروسی/هرسپتین (۸۳ کیلو دالتون) با استفاده از کیت سوبسترای تجاری ECL مورد شناسایی قرار گرفت. مشاهده نتیجه آزمایش با قرار گرفتن غشا روی فیلم عکاسی به مدت یک دقیقه و ظهور فیلم انجام شد. غشا نیتروسلولزی حاوی باندهای نانوذره ویروسی/هرسپتین، نانوذره ویروسی و هرسپتین با آنتی‌بادی اختصاصی انسانی متصل به HRP (ساخت شرکت abcam) با غلظت ۱:۱۵۰۰۰ به مدت ۲ ساعت مجاور شد. این آنتی‌بادی قابلیت اتصال به مولکول هرسپتین با وزن مولکولی ۵۵ کیلو دالتون و نانوذره ویروسی/هرسپتین با وزن مولکولی ۸۳ کیلو دالتون را دارد است. رنگ آمیزی با کیت ECL انجام گرفته و باندها با قرار گرفتن غشا روی فیلم عکاسی به مدت یک دقیقه و ظهور فیلم قابل رویت شدند.

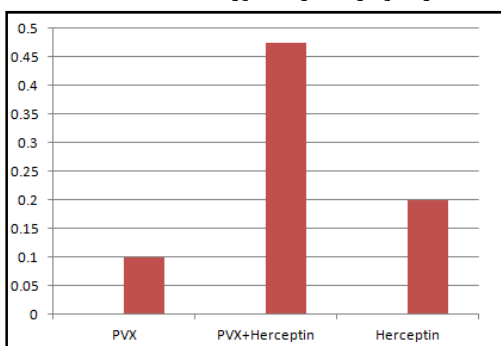
ج) مشاهده با میکروسکوپ الکترونی: به منظور مشاهده ساختارهای دست نخورده نانوذرات ویروس رشته‌ای با ابعاد ۱۲×۱۵ پس از سپری شدن پروسه‌های کنژوگاسیون، از

نانوذره ویروسی/هرسپتین بسته به غلظت هر کدام از لینکرها با حفظ نسبت ۱ (EDC) (Sulfo-۲/۵) به (NHS)، بارهای الکتریکی متفاوتی را نشان داد که در جدول شماره ۲ آورده شده است. گراف‌های به دست آمده از دستگاه زتابایزر در شکل ۴ نشان داده شده است.

جدول ۲: بار الکتریکی کنژوگه نانوذره ویروسی / هرسپتین با غلظت‌های مختلف لینکر در بررسی با دستگاه زتابایزر

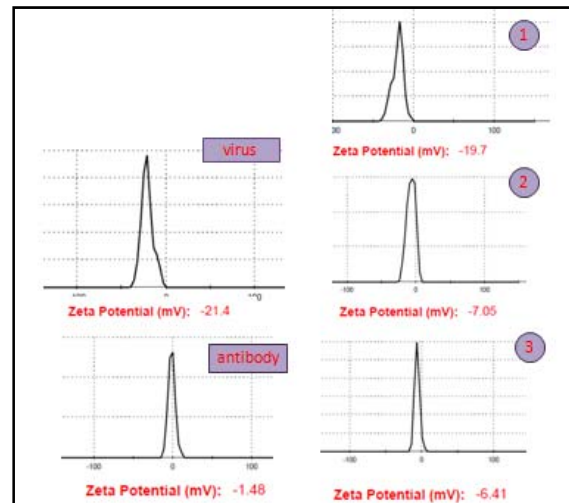
بار الکتریکی	EDC/ Sulfo-NHS
-۱۹.۷	۲/۵
-۷.۰۵	۴/۱۰
-۶.۴۱	۸/۲۰

خوانش الیزا در طول موج ۴۵۰ نانومتر صورت گرفت. در آزمون الیزای ساندویچی چاهک‌هایی که حاوی کنژوگه نانوذره ویروسی / هرسپتین بودند جذب نوری بالاتری را در مقایسه با کنترل‌های هرسپتین و ویروس به تنها یی نشان دادند که در نمودار شماره ۱ آورده شده است.



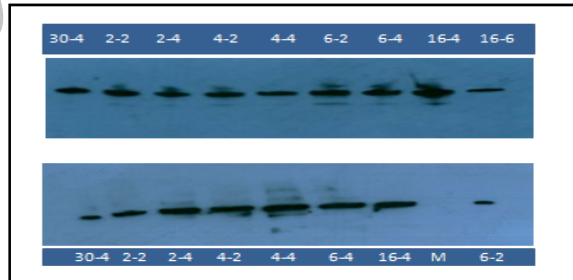
نمودار ۱: نتایج آزمون آلیزا. ستون اول بیانگر جذب ویروس به تنها یی، ستون دوم کمپلکس نانوذره ویروس/هرسپتین و ستون سوم هرسپتین به تنها یی است.

در نتایج آزمون SDS-PAGE با استفاده از رنگ آمیزی پانسیو-اس در چاهک مربوط به هرسپتین دوباند ۲۵ کیلو Dalton و ۵۵ کیلو Dalton دیده شد که بیانگر حضور زنجیره سبک و سنگین آنتی‌بادی مونوکلونال هرسپتین بود. در چاهک مربوط به ویروس تخلیص شده از برگ‌های آلوهه (ویروس خالص) باند ۲۷ کیلو Daltonی مربوط به پوشش پروتئینی ویروس دیده شد. در چاهک حاوی کنژوگه نانوذره ویروس / هرسپتین باند ۸۳ کیلو Dalton



شکل ۴: تعیین بار الکتریکی ذرات به کمک دستگاه Zetasizer به منظور تعیین غلظت بهینه EDC/Sulfo-NHS

۱: غلظت EDC/Sulfo-NHS معادل ۲ به ۵ با بار الکتریکی -۱۹.۷ (SD= ۱/۰۴)، ۲: معادل ۴ به ۱۰ با بار الکتریکی -۷.۰۵ (SD= ۰/۱۰۳)، ۳: معادل ۸ به ۲۰ با بار الکتریکی -۶.۴۱ (SD= ۰/۲۶) است. بار الکتریکی آنتی‌بادی هرسپتین و ویروس به تنها یی، به ترتیب ۱/۴۸ (SD= ۰/۳۰) و ۲۱/۴ (SD= ۱/۳۲) دست آمد.



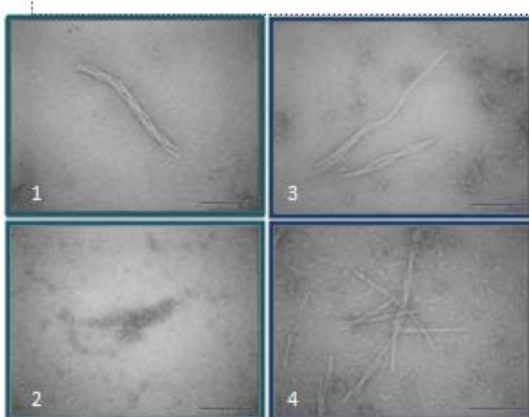
شکل ۵: بهینه سازی مدت زمان انکوباسیون مرحله اول و دوم اتصال لینکر EDC/Sulfo-NHS با استفاده از تکنیک وسترن بلاط در زمان‌های مختلف که زمان مرحله اول از مدت زمان انکوباسیون مرحله دوم با خط تیره جدا گردیده است.

ردیف بالا وسترن بلاط نانوذره-لینکر با آنتی‌بادی انسانی در زمان‌های مختلف انکوباسیون مرحله اول و دوم را نشان می‌دهد. ردیف پائین وسترن بلاط نانوذره-لینکر با آنتی‌بادی اختصاصی ویروس می‌باشد.

در بررسی بار الکتریکی هرسپتین و نانو ذرات ویروسی با زتابایزر، بار الکتریکی هرسپتین ۱/۴۸ (با ضریب خطأ ۰/۳۰) و بار الکتریکی نانوذرات ویروسی ۲۱/۴ (با ضریب خطأ ۰/۳۲) به دست آمد، در حالی که بار الکتریکی

شكل سمت چپ با آنتی‌بادی اختصاصی ویروس و سمت راست با آنتی‌بادی انسانی: چاهک ۱ مربوط به هرسپتین خالص که با آنتی‌بادی اختصاصی ویروس باندی مشاهده نمی‌شود. چاهک ۲ ویروس کنژوگه شده با هرسپتین با استفاده از آنتی‌بادی اختصاصی ویروس ایکس سیب‌زمینی و مشاهده باندی معادل ۸۳ کیلو Daltonی مشابه وسترن بلاط با آنتی‌بادی انسانی. چاهک ۳ ویروس خالص شده ایکس سیب‌زمینی و مشاهده تک باند معادل ۲۷ کیلو Daltonی که موید وزن پوشش پروتئینی این ویروس است. چاهک ۴ ویروس خالص که در برخورد با آنتی‌بادی انسانی باندی مشاهده نمی‌شود. رده ۵ ویروس کنژوگه شده با هرسپتین و مشاهده باند ۸۳ کیلو Daltonی ناشی کنژوگه شدن ویروس و هرسپتین. باند ۵۵ کیلو Daltonی مربوط به زنجیره سنگین آنتی‌بادی با مقدار بسیار کمتر از ۸۳ کیلو Daltonی در محیط مشاهده می‌شود. چاهک ۶ آنتی‌بادی هرسپتین به تهایی. این آنتی‌بادی فقط قادر به شناسایی زنجیره سنگین است بنابراین در وسترن بلاط فقط باند ۵۵ کیلو Daltonی از هرسپتین قابل جداسازی است.

نتایج حاصل از میکروسکوپ الکترونی نشان داد که ساختار ویروس میله‌ای ایکس سیب‌زمینی بعد از کنژوگه شدن با هرسپتین با استفاده از لینکرهای شیمیایی، همچنان محفوظ باقی ماند. نتایج حاصل از این بررسی در شکل ۸ آورده شده است.

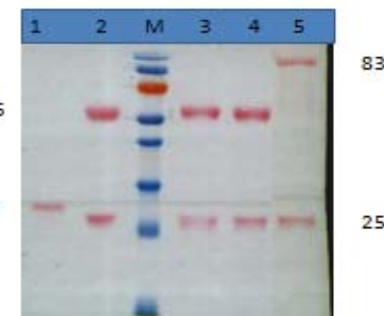


شکل ۸:

۱: مرغولوژی نانو ذره ویروس با استفاده از میکروسکوپ TEM و مشاهده پیکره رشته‌ای ویروس ایکس سیب‌زمینی با اندازه 12×515 نانومتر.
۲: عکس مولکولهای هرسپتین.

۳: نمونه‌های حاصل از کنژوگاسیون ویروس و هرسپتین و مشاهده حفظ ساختار ذرات میله‌ای ویروس پس از کنژوگه شدن.

دیده شد. این باند بیانگر اتصال پوشش پروتئینی ویروس با زنجیره سنگین آنتی‌بادی هرسپتین است. نتایج SDS-PAGE در شکل شماره ۶ نشان داده شده است.



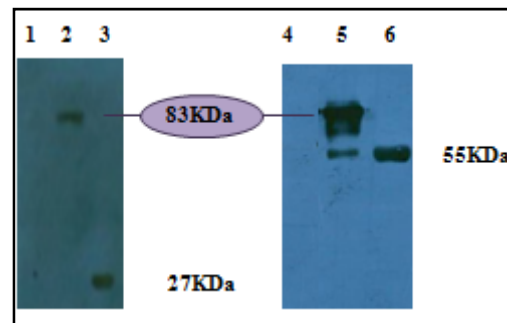
شکل ۶: اتصال و تغییر وزن پروتئین‌ها در ژل SDS-PAGE با استفاده از رنگ‌آمیزی پانسیو اس

ردیف ۱: پوشش پروتئینی ویروس خالص با وزن مولکولی ۲۷ کیلو Daltonی.

ردیفهای ۲، ۳، ۴: آنتی‌بادی مونوکلونال هرسپتین که شامل زنجیره سنگین با وزن مولکولی ۵۵ کیلو Daltonی و زنجیره سبک با وزن ۲۵ کیلو Daltonی.

ردیف ۵: ویروس کنژوگه شده با هرسپتین و مشاهده باند ۸۳ کیلو Daltonی.

نتایج به دست آمده از وسترن بلاط دو غشا نیتروسلولزی دقیقا با نتایج حاصل از SDS-PAGE هم خوانی داشت. وسترن بلاط غشا نیتروسلولزی که در معرض آنتی‌بادی انسانی قرار گرفته بود، در چاهک مربوط به هرسپتین باند ۵۵ کیلو Daltonی و در چاهک مربوط به کنژوگه نانوذره هرسپتین باند ۸۳ کیلو Daltonی را نشان داد. وسترن بلاط غشا نیتروسلولزی که در معرض آنتی‌بادی اختصاصی ویروسی قرار گرفته بود. در چاهک مربوط به ویروس خالص باند ۲۷ کیلو Daltonی و در چاهک مربوط به کنژوگه نانوذره ویروسی / هرسپتین باند ۸۳ کیلو Daltonی نشان داد. نتایج حاصل از وسترن بلاط در شکل شماره ۷ نشان داده شده است.



شکل ۷: تصویر به دست آمده از آزمون وسترن بلاط

ایزومتریک نه تنها امکان اتصال افزایش می‌یابد بلکه پیوندها نیز موثرتر خواهد بود.

مکانیسم اثر لینکرهای EDC/Sulfo-NHS اتصال عامل آمین به عامل کربوکسیل است. در این تحقیق از لینکر ذکر شده استفاده شد تا عامل کربوکسیل زنجیره سنتگین هرسپتین به عامل آمین نانوذره ویروسی ایکس سیب-زمینی اتصال داده شود. لینکرهای شیمیایی EDC/Sulfo-NHS با غلظت ۴ به ۱۰ و مدت زمان چهار ساعت در مرحله اول (انکوباسیون ویروس و لینکر) و دو ساعت (انکوباسیون ویروس- لینکر و هرسپتین) جهت اتصال مولکول‌های آنتی‌بادی مونوکلونال هرسپتین به کپسید نانوذرات رشته‌ای ویروس ایکس سیبازمینی استفاده گردید. نسبت غلظت لینکر EDC به Sulfo-NHS، ۱ به ۲/۵ بود (۲۳). مقدار لینکرهای به کار گرفته شده با حفظ نسبت غلظت آنها و مدت زمان به کار رفته جهت اتصال هرسپتین به نانوذره ویروس رشته‌ای سیب-زمینی برای اولین بار در این تحقیق انجام گرفت. انتخاب غلظت ۴ به ۱۰ لینکرهای EDC/Sulfo-NHS بر اساس نتایج زتابسایز و وسترن بلاط آورده شده در نتایج انتخاب گردید. در بررسی نتایج وسترن بلاط، باندهای نمایان شده در رقت اول و دوم سریالی تفاوتی نشان نداد در حالی که در نتایج زتا سایز رقت سریالی دوم و سوم تفاوت چندانی نداشتند. با مقایسه این دو نتیجه ترجیح داده شد که از رقت سریالی دوم با نسبت ۴ به ۱۰ استفاده گردد.

به منظور بررسی خاصیت بیماری‌زایی کمپلکس نانوذره ویروس/هرسپتین در گیاه *N. rustica*, کمپلکس حاصله بر روی برگ گیاه محک *N. rustica* تلقیح شد. پس از گذشت ۱۵-۲۰ روز هیچ‌گونه علائم بیماری ویروسی در این گیاه مشاهده نگردید. این احتمال وجود دارد که به دلیل پوشیده شدن سطح ویروس با لینکرهای متصل به ذرات هرسپتین RNA ویروسی در داخل کپسید محبوس شده که حاصل آن عدم امکان تکثیر ویروس و انتقال آن به سلول‌های مجاور می‌باشد. بررسی بیماری‌زایی نانوذره ویروس گیاهی بعد از اتصال آن به لینکرها بر روی گیاهان تاکنون گزارش نشده است.

ویروس به کار رفته در این تحقیق ویروس رشته‌ای خمین پذیر سیبازمینی که از گیاه نخودفرنگی در سال ۲۰۰۷ توسط اسفندیاری و همکاران برای اولین بار گزارش

بحث و نتیجه‌گیری

دارودرمانی یکی از مهم‌ترین مسائلی است که از دیربارز توجه دانشمندان و محققان را به خود جلب نموده است. هزینه‌های بالای درمانی ناشی از مصرف زیاد دارو از یک سو و عوارض جانبی مصرف دارو از سویی دیگر محققان را بر آن داشت تا با هدف‌گیری موثر دارو بر روی نقطه مورد نظر از مصرف دارو بکاهد. در این میان نقش حاملین یا ناقلین دارو که خود بر روی سلول‌های انسانی عوارض و یا بیماری نداشته باشند احساس شد. علم نانوتکنولوژی روزنه امیدی در درمان ایجاد کرد. ساخت نانوذرات شیمیایی و یا کشف نانوذرات بیولوژی مانند ویروس‌های گیاهی، اتصال دارو با واسطه لینکر شیمیایی به نانوذره مربوطه و استفاده از کمپلکس ایجاد شده در هدف‌گیری موثر درمان سبب کاهش بسیاری از عوارض جانبی داروها گردید.

آنتی‌بادی مونوکلونال هرسپتین قابلیت شناسایی و اتصال به رسپتورهای سطحی سلول‌های HER2+ سرطان پستان را دارا است و لذا از آن در درمان این نوع از سرطان استفاده می‌شود. هدف‌گیری هم‌زمان مولکول‌های هرسپتین متعلق شده بر روی نانوذره ویروس نه تنها سبب کاهش دوز مصرفی مورد نیاز در درمان شده بلکه پایداری هرسپتین به دلیل کاهش تجزیه شدن آن را نیز افزایش می‌دهد. مهم‌ترین نتیجه به دست آمده در هدف‌گیری موثر دارو علاوه بر کاهش هزینه‌های درمانی، کاهش عوارض جانبی دارو است.

علی‌رغم گزارش لوئیس و همکاران در سال ۲۰۰۶ مبنی بر سمیت آدنوویروس برای سلول حیوانی (۱۱)، یوکیانگ و همکاران در سال ۲۰۰۷ از نانوذره ویروسی آدنوویروس و لینکر EDC/Sulfo-NHS برای اتصال هرسپتین به آن استفاده کردند (۲۱). استینمنتز و همکاران در سال ۲۰۰۹ از ویروس رشته‌ای ایکس سیبازمینی به عنوان نانوذره استفاده کرده و نشان دادند که تعداد مولکول‌های فلورسانس متعلق شده به سطح خارجی کپسید ویروسی افزایش یافته است (۲۲). آنان این خصوصیت را ناشی از سطح صاف پیکره ویروس رشته‌ای ایکس سیبازمینی در مقایسه با ویروس‌های ایزومتریک مانند ویروس موزائیک لوبیا چشم بلبلی دانستند. این گروه با تحقیقات خود نشان دادند که در ویروس‌های رشته‌ای و یا میله‌ای شکل به دلیل وجود پیکرهای باسطح صاف نسبت به ویروس‌های

گردید. آزمون وسترن بلاط به کمک آنتی‌بادی‌های اختصاصی ویروس و هرسپتین مهر تائیدی دال بر این قضیه می‌باشد. ایده استفاده از تکنیک وسترن بلاط در این تحقیق از مطالعه استیمنز حاصل شد. مطالعه استیمنز و همکاران در سال ۲۰۰۹ تنها تحقیق انجام گرفته در زمینه استفاده از ویروس ایکس سیبزمینی به عنوان نانوذره است. استیمنز و همکاران در مطالعه خود از این ویروس OregonGreen و AlexaFluor 488 با اتصال ۴۸۸ به ویروس باندهای پروتئینی ویروس ایکس سیب زمینی و باندهای پروتئین ناشی از کنثوگاسیون ویروس و فلورسنت را با تکنیک وسترن بلاط مشاهده کردند. قابل ذکر است که نوع ویروس سیب زمینی به کار رفته در تحقیق ایشان از استرین دیگری بود که با نانوذره به کار رفته در این تحقیق بود.

در بررسی با زتابسایزر بار الکتریکی کمپلکس نانوذره/ هرسپتین ۷/۰۵- (با ضریب خطأ ۰/۰۳) به دست آمد که نسبت به بار الکتریکی ویروس (۲۱/۴)- مثبت‌تر و نسبت به بار الکتریکی هرسپتین (۱/۴۸)- منفی‌تر بود. بار الکتریکی ۷/۰۵- نشان داد اتصال بین ویروس و هرسپتین رخ داده که منجر به ایجاد ذره جدید با بار الکتریکی متفاوتی شده است. نتایج میکروسکوپ الکترونی موید حفظ ساختار رشته‌ای کمپلکس نانوذره ویروسی/ هرسپتین بود. این داده‌ها نشان دادند که لینکرهای شیمیایی به کار رفته و مواد شیمیایی در محیط واکنش هیچ‌کدام ساختار رشته‌ای ویروس را تخریب نکرده و نانوذره بودن ویروس حفظ شده است.

نانوذرات ویروسی گیاهی به دلیل اندازه کوچک، غیر بیماری‌زا بودن در سلول‌های حیوانی، خالص سازی ارزان و حفظ ساختار پیکرهای بعد از اتصال به لینکرهای شیمیایی وارد عرصه نانوتکنولوژی شده و توجه ویژه‌ای را به خود اختصاص دادند به گونه‌ای که از آنها در هدف‌گیری موثر دارو در درمان سرطان‌ها استفاده می‌شود.

تشکر و قدردانی

از صندوق حمایت از پژوهشگران و فناوران کشور به علت فراهم آوردن بودجه این طرح تحقیقاتی و از شرکت فناوری بنی‌باخته به علت همکاری‌های همه جانبه در جهت پیشبرد این تحقیق نهایت سپاس و امتنان را دارم. از

شده بود استفاده گردید (۲۴). این ویروس شامل ۱۲۷۰ زیر واحد پروتئینی به وزن ۲۷ کیلو Dalton است. جهت بررسی تاثیر تقدم و تاخر اضافه کردن نانوذره ویروس و هرسپتین به لینکر شیمیایی، وسترن بلاط‌های کمپلکس نانوذره ویروسی/ هرسپتین حاصل از ویروس- لینکر- هرسپتین و هرسپتین- لینکر- ویروس با هم مقایسه شد که باندهای حاصله تفاوتی را نشان نمی‌داد. زتا سایزر و آزمون الیزای ساندویچی برای بررسی دو کمپلکس فوق انجام نشد اما با به آگاهی از ساختار آنتی‌بادی‌های مونوکلونال لذا ترجیح داده شد که جهت تشکیل کمپلکس نانوذره ویروس/ هرسپتین ترتیب ورود مولکول‌ها به صورت ویروس- لینکر- هرسپتین باشد.

از کمپلکس ویروس- گلوتارآلدئید- هرسپتین به عنوان کنترل استفاده شد. گلوتارآلدئید لینکر شیمیایی بوده که سبب اتصال پایانه‌های آمین می‌شود. این اتصالات غیراختصاصی سبب تشکیل باند پروتئینی سنگینی در ژل SDS-PAGE شده که با توجه به مکانیسم عمل گلوتارآلدئید این نتیجه قابل پیش‌بینی بود. از آنجایی که آنتی‌بادی مونوکلونال هرسپتین قابلیت شناسایی و اتصال به رپتورهای سطحی سلول‌های HER2+ سرطان پستان را دارا هستند اتصال چندین مولکول هرسپتین به نانوذره ویروسی به واسطه لینکرهای شیمیایی سبب هدف‌گیری و جذب هم‌زمان تعداد زیادی از مولکول‌های هرسپتین متصل به پیکره ویروس ایکس سیب زمینی به سطح سلول‌های HER2+ شده که این امر کاهش دوز مصرفی داروی هرسپتین را به همراه خواهد داشت.

در نتایج به دست آمده در آزمون الیزای ساندویچی به دلیل حضور آنتی‌بادی اختصاصی ویروس ایکس سیب زمینی پوشش داده شده در کف چاهک‌ها و سپس اضافه کردن آنتی‌بادی انسانی در آخرین مرحله، فقط کمپلکس‌های حاوی نانوذره ویروسی/ هرسپتین قابل شناسایی است. تاکنون از آزمون الیزا جهت شناسایی و جداسازی نانوذرات ویروسی استفاده نگردیده و طراحی الیزا توسطه اسفندیاری و همکاران صورت گرفته است.

در نتایج حاصل از SDS-PAGE اضافه شدن پوشش پروتئینی ۲۷ کیلو Daltonی نانوذره ویروس خالص شده ایکس سیب زمینی به زنجیره سنگین ۵۵ کیلو Daltonی آنتی‌بادی هرسپتین سبب ایجاد پروتئین ۸۳ کیلو Daltonی

سرکار خانم دکتر کمالی به پاس محبت بی‌دربیخ‌شان

سپاسگزارم.

References

1. Brown WL, Mastico RA, Wu M, Heal KG, Adams CJ, Murray JB, Stockley PG. RNA bacteriophage capsid-mediated drug delivery and epitope presentation. *Intervirology* 2003; 45(4-6): 371-80.
2. Doronina S, Toki B, Torgov M, Mendelsohn B, Cerveny C, Chace D, DeBlanc R, Gearing R, Bovee T, Siegall C, Francisco J, Wah A, Meyer D, Senter P. Development of potent monoclonal antibody auristatin conjugates for cancer therapy. *Nat Biotechnol* 2003; 21: 778- 84.
3. Douglas T, Young M. Viruses: making friends with old foes. *Science* 2006; 312 (5775): 873-5.
4. Kukowska-Latallo J, Candido K, Cao Z, Nigavekar S, Majoros I, Thomas T, Balogh L, Khan M, Baker J. Nanoparticle targeting of anticancer drug improves therapeutic response in animal model of human epithelial cancer. *Cancer Res* 2005; 65: 5317-24.
5. Medina O, Zhu Y, Kairemo K. Targeted liposomal drug delivery in cancer. *Curr Pharm Des* 2004; 10: 2981-9.
6. Muldoon L, Neuwelt E. BR96-DOX immunoconjugate targeting of chemotherapy in brain tumor models. *J Neurooncol* 2003; 65: 49-62.
7. Okuda T, Kawakami S, Akimoto N, Niidome T, Yamashita F, Hashida M. PEGylated lysine dendrimers for tumor-selective targeting after intravenous injection in tumor-bearing mice. *J Control Release* 2006; 116: 330-6.
8. Park J, Kirpotin D, Hong K, Shalaby R, Shao Y, Nielsen U, Marks J, Papahadjopoulos D, Benz C. Tumor targeting using anti-her2 immunoliposomes. *J Control Release* 2001; 74: 95-113.
9. Pattenden L, Middelberg A, Niebert M, Lipin D. Towards the preparative and large-scale precision manufacture of virus-like particles. *Trends Biotechnol* 2005; 23: 523-9.
10. Singh P, Gonzalez M, Manchester M. Viruses and their uses in nanotechnology. *Drug Development Research* 2006; 67: 23-41.
11. Lewis J, Destito G, Zijlstra A, Gonzalez M, Quigley J, Manchester M, Stuhlmann H. Viral nanoparticles as tools for intravital vascular imaging. *Nature Medicine* 2006; 12(3): 354-60.
12. Klem MT, Willits D, Young M, Douglas T. 2-D array formation of genetically engineered viral cages on Au surfaces and imaging by atomic force microscopy. *J Am Chem Soc* 2003; 125: 10806-7.
13. Brumfield S, Willits D, Tang L, Johnson JE, Douglas T, Young M. Heterologous expression of the modified coat protein of Cowpea chlorotic mottle bromovirus results in the assembly of protein cages with altered architectures and function. *J Gen Virol* 2004; 85:1049-53.
14. Brown WL, Mastico RA, Wu M, Heal KG, Adam CJ, Murray JB, Simpson JC, Lord JM, Taylor-Robinson AW, Stockley PG. RNA bacteriophage capsid-mediated drug delivery and epitope presentation. *Intervirology* 2002; 45:371-80.
15. Wang Q, Lin TW, Tang L, Johnson JE, Finn MG. Icosahedral virus particles as addressable nanoscale building blocks. *Angew. Chem Int Ed* 2002; 41:459-62.
16. Germershaus O, Merdan T, Bakowsky U, Behe M, Kissel T. *Bioconjug Chem* 2006; 17:1190-9.
17. Tran T, Engfeldt T, Orlova A, Sandstro M, Feldwisch J, Abrahamse L, Wennborg A, Tolmachev V, Karlstro A. *Bioconjug Chem* 2007; 18:1956-64.
18. Hilger I, Leistner Y, Bernd A, Fritzsche C, Haas K, Kosmehl H, Kaiser W. *Eur Radiol* 2006; 14: 1124-9.

19. Shukla R, Thomas T, Peters J, Desai A, Kukowska-Latallo J, Patri A, Kotlyar A, Baker J. *Bioconjug Chem* 2006; 17: 1109-15.
20. Jayasinghe U, Salazar L. *Manual de tecnicas en virologia de plants*. Unidad Tecnica de Capacitation (TTU). CIP Lima Peru 1993.
21. Yukyung J, Hyo-Jin P, Pyung-Hwan K, Jaewon L, Woochan H, Jaemoon Y, Hyunju K, Joo-yuk S, Joo-Hang K, Yong-Min H, Chae-Ok Y, Seungjoo H. Retargeting of adenoviral gene delivery via Herceptin-PEG- adenovirus conjugates to breast cancer cells. *Journal of Controlled Release* 2007; 123:164-71.
22. Steinmetz NF, Mertens ME, Taurog R E, Johnson JE, Commandeur U, Fischer R, Manchester M. Potato Virus X as a novel platform for potential biomedical applications. *Nano Lett* 2010; 10: 305-12.
23. Greg T, Hermanson. *Bioconjugate Techniques*, First Edition, Academic Press 1996; 801.
24. Esfandiari N, Kohi-Habibi M, Hohn T, Pooggin M. Complete genome sequence of an Iranian isolate of Potato virus X from the legume plant *Pisum sativum*. *Virus Genes* 2009; 39:141-5.